

## 紀伊水道における高潮計算

徳島大学大学院 学生員○鈴木 健治  
徳島大学工学部 正会員 中野 晋  
徳島大学工学部 正会員 三井 宏

1. はじめに A D I 法を用いて紀伊水道、大阪湾における第2室戸台風時の高潮の追算を行った。計算領域や風速など重要と思われる条件を変化させて、計算に及ぼす影響を調べた。

2. 高潮の基礎式 高潮の基礎方程式は、連続の条件から得られる式(1)と、Navier-Stokesの式から得られる式(2)、(3)である。

$$\frac{\partial \zeta}{\partial t} + \frac{\partial}{\partial x} \{ (h+\zeta) u \} + \frac{\partial}{\partial y} \{ (h+\zeta) v \} = 0 \quad (1)$$

$$\frac{\partial u}{\partial t} + u \frac{\partial u}{\partial x} + v \frac{\partial u}{\partial y} - f v + g \frac{\partial \zeta}{\partial x} + \frac{1}{\rho_w} \frac{\partial P_a}{\partial x} + \frac{\tau_x^* - \tau_y^*}{\rho_w (h+\zeta)} - A_b \left( \frac{\partial^2 u}{\partial x^2} + \frac{\partial^2 u}{\partial y^2} \right) = 0 \quad (2)$$

$$\frac{\partial v}{\partial t} + u \frac{\partial v}{\partial x} + v \frac{\partial v}{\partial y} + f u + g \frac{\partial \zeta}{\partial y} + \frac{1}{\rho_w} \frac{\partial P_a}{\partial y} + \frac{\tau_x^* - \tau_y^*}{\rho_w (h+\zeta)} - A_b \left( \frac{\partial^2 v}{\partial x^2} + \frac{\partial^2 v}{\partial y^2} \right) = 0 \quad (3)$$

また、風速算定式は、

$$W_x = C_1 V \exp \left( -\frac{\pi r}{l} \right) - C_2 G \frac{x \sin \beta + y \cos \beta}{r} \quad (4)$$

$$W_y = C_1 V \exp \left( -\frac{\pi r}{l} \right) - C_2 G \frac{x \cos \beta - y \sin \beta}{r} \quad (5)$$

を用いた。ここに、 $C_1$ 、 $C_2$  は定数、 $\beta$  は等圧線より内側に吹き込む角であり、第1項は場の風の、第2項は傾度風の項である。

3. 高潮計算結果の検討 第2室戸台風時の高潮計算を行ったが、計算条件は次の通りである。計算領域は図-1に示したが、開境界1からと開境界2からとを比較した。格子間隔はすべての領域に対して、 $6,000m \times 6,000m$  とし、タイムステップは120secとした。初期条件は流速を0、水位は気圧降下による吸い上げ分を与えた。境界条件のうち開境界で与える水位は、気圧降下分を与えた。台風モデルは Myers の式を用い、風速分布は風速条件1として、

$C_1 = C_2 = 0.6$ 、 $\beta = 30^\circ$  とした場合と、風速条件2として、 $C_1 = C_2 = 0.8$ 、 $\beta = 18^\circ$  とした場合を比較した。高潮偏差の計算をするに先立ち、気圧分布と風速分布の計算結果の妥当性について検討した。計算領域内の代表的な地点について実測値と比較したものを作成した。図-2、図-3に示す。気圧はほぼ一致していると言えるが、風速は計算値が実測値に比べ、室戸では小さめ、海南・大阪では大きめの値となっている。これは計算地点が観測地点と若干ずれることや、海上風と陸上風とでは違うことなどが原因と思われる。

開境界の位置を変えて計算した高潮偏差結果を、実測値と比較して図-4に示す。偏差の時間的变化の傾向は合っているものの、全体的に計算値の方が小さい値と

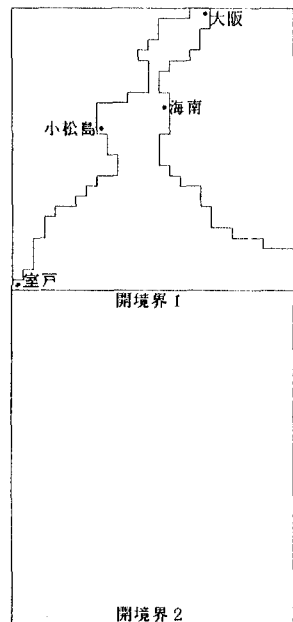


図-1 計算領域

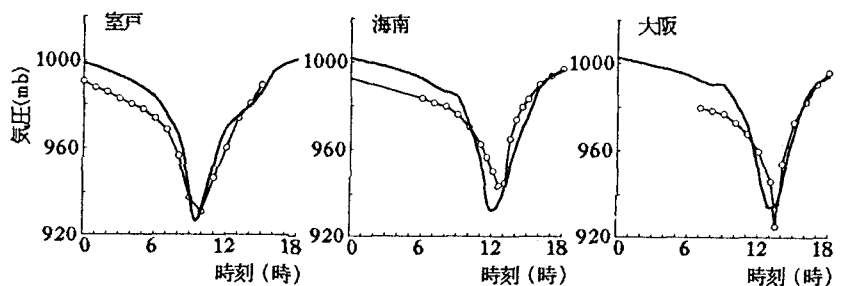


図-2 気圧の経時変化 (○—○—○: 実測値, ———: 計算値)

なっている。また開境界を遠くに設定した方が再現性が高く、開境界を可能な限り遠くにすべきであると言える。

次に風速条件を変え計算した結果を図-5に示す。風速条件2は風速条件1に比べ、最大偏差が小松島・海南で大きくなっている。また、風向( $\beta$ )の変化は、高潮偏差のピークを海南・大阪で早める結果となっている。

どの地点でもForerunnerの観測値は計算値よりも高く、この差は高潮ピーク時の実測値との差にはほぼ等しい。したがって、高潮計算ではForerunner現象をいかに正確に再現するかが最も重要であり、この点について今後検討する予定である。

参考文献 村上和男・森川雅行・堀江毅：AD1法による高潮の数値計算法、港湾技研資料、No.529, pp.1-35, 1985年9月

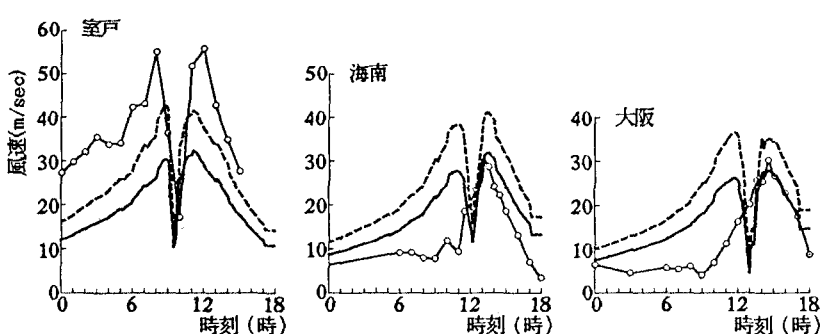


図-3 風速の経時変化  
(○—○—○: 実測値, ———: 風速条件1, ·······: 風速条件2)

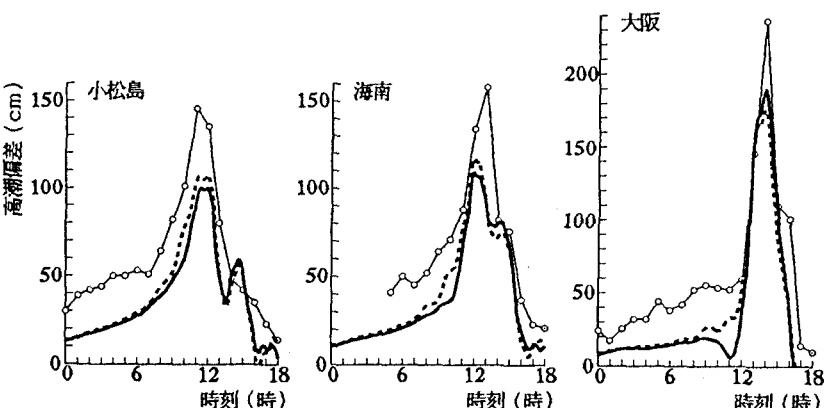


図-4 境界位置による高潮偏差の比較  
(○—○—○: 実測値, ———: 開境界1, ·······: 開境界2)

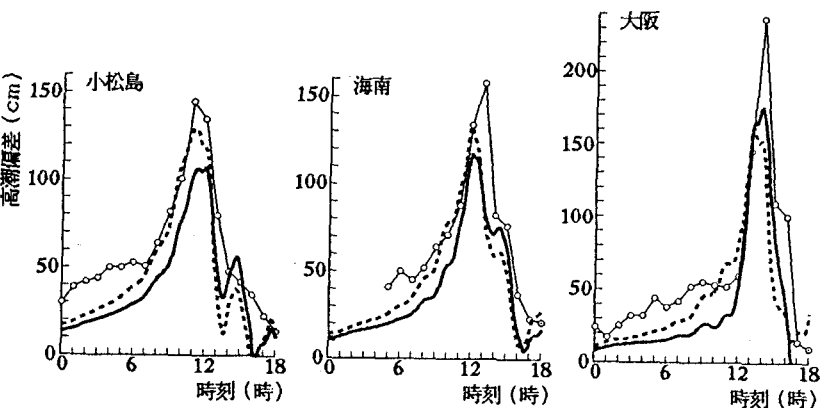


図-5 風速による高潮偏差の比較  
(○—○—○: 実測値, ———: 風速条件1, ·······: 風速条件2)